

愛知工業大学土木工学科 正員・奥村哲夫・成田国朝・建部英博・大根義男  
(株)アイ・エヌ・エー新土木研究所 正員 大島満

## 1. はじめに

フィルダム模型の大型振動実験とその振動解析を通じて、フィルダムの地震時の破壊形態や安定性の評価法を議論したり、また解析手法の妥当性を検証するためには、模型の応力レベルに相当する極めて低い拘束圧下における動的変形特性を把握しておく必要がある。本研究は、堤高1.5mのアースフィル堤体Kについて行った振動実験モデルの動的変形特性を大型振動台および振動三軸圧縮試験機を用いて調べたものである。

## 2. 試料および実験概要

用いた試料は、比重2.673、砂分71%、シルト分27%、粘土分2%、均等係数28の砂質土である。

実験は、振動台上K2種類の形状の盛土を作成し、これを水平方向に加振（正弦波、振動数 $f=10\text{Hz}$ ）することにより発生するせん断応力とせん断ひずみからせん断弾性係数( $G$ )と減衰比( $h$ )を測定するものと、振動三軸試験機を用いた2種類の方法で行った。

振動台を用いた実験（実験A：図-3中に示す堤体、実験B：図-4中に示す堤体）のひれは、図-1(a)に示すように堤体の中心に埋設した加速度計間に狭まれるブロックに発生するせん断ひずみ及びせん断応力から算定した。すなわち、せん断ひずみ( $\gamma$ )は、ブロックの上下の加速度記録を積分して得られる応答位移から各時刻の両者の変位差( $\Delta S$ )を求め、これを加速度計間の距離( $L$ )で除して定めた。一方、せん断応力は以下のとおりである。いま、堤体中心軸上で任意時刻において図-1(a)のような応答加速度分布が得られたとする。堤頂より深さ $z$ の位置で微小部分 $dz$ を考えるとこの部分の質量は $\rho \cdot b(z) \cdot dz$ であり、またこの位置の水平加速度 $\alpha(z)$ は応答加速度分布より求められる。従って、この部分の微小慣性力 $dF$ は $dF = \rho \cdot b(z) \cdot dz \cdot \alpha(z)$

となり、任意点 $z=h$ におけるせん断応力 $Z_{dh}$ は

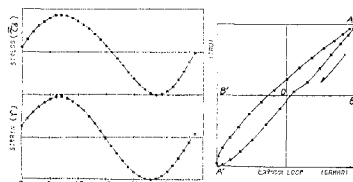
$$Z_{dh} = \frac{F_h}{b(z)h} = \frac{\rho}{b(z)h} \int_0^h b(z) \cdot \alpha(z) \cdot dz \quad (1)$$

で与えられる（ $F_h$ は深さ $h$ までの堤体質量に作用する慣性力）。実際の計算に当っては各加速度計間を10分割して微小慣性力を求め、これよりブロック上下の $F_h$ 、 $F_h''$ を求めてせん断応力を $\bar{a}$ を次式より算定した。

$$\bar{a} = \frac{1}{2}(Z_{dh} + Z_{dh}'') \quad (2)$$

以上のように、各時刻毎の平均せん断応力 $\bar{a}$ とせん断ひずみの関係を図2のように求め行おればひずみを算定した。振動三軸試験（実験C）についてはポアソン比を0.4と仮定し通常の方法によりひずみを算定した。

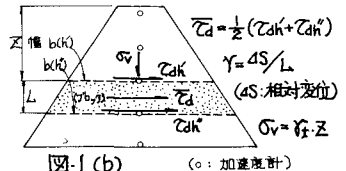
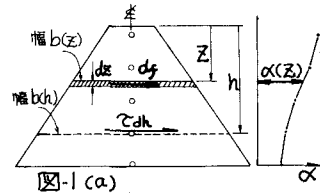
なお、実験AおよびBの堤体の作成はタンピング”



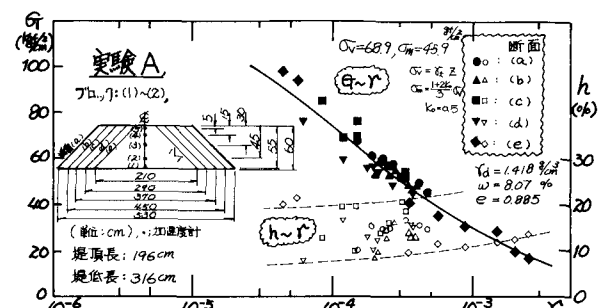
$$G = \bar{a}/\gamma$$

$$h = \frac{1}{2\pi} \cdot \frac{\Delta W}{W} \quad (\Delta W: 1L-70^\circ \text{の囲む面積}, W: \triangle OAB \text{と} \triangle O'A'B' \text{の面積})$$

図-2 実験記録の代表例



(○: 加速度計)

図-3  $G$ - $h$ の関係（実験A）

ローラー(自重160kg、ドムの幅60cm)を用いて行った。

### 3 実験結果

図-3は、堤高を一定として堤頂及び堤敷幅を図中に示す5種類に変化させて行った実験(断面a-e)の $G_f$ と $h$ との関係を代表的K7ロット(1)-(2)〔加速度計測設置位置(1)および(2)が狭まる部分〕について示したものである。この結果より、断面(a)~(e)の $h$ と $h$ との関係にはほぼ同一の傾向となっており、断面の違いによる影響は無視できることがわかる。一方、 $h$ は図中破線で囲んだ範囲に分布しており、バラッキは大きい。

図-4は、堤高1.5mの堤体について行った振動実験のデータから $G_f$ と $h$ との関係を求めたものである。 $G_f$ と $h$ との関係には幾分データのバラッキがあるが、各アロットの平均的な値は図中の実線で表わすことができ、上部のアロットほど $h$ の値は小さくなっている。 $h$ はアロットの違いによる明確な相違は認められない。

図-5は、実験A~Cの $h$ と $h$ との関係を示している。図中特に太く示した線は $G_m=50.8 \text{ cm}^2$ のものであり、実験AとCはほぼ同一傾向を示し、実験Bは他のより大きめの値を示している。なお、実験Cで用いた供試体は実験AおよびBの堤体の性状に合うよう筒固めて作成したものである( $\gamma_d=1.415 \text{ g/cm}^3$ ,  $W=8.11\%$ ,  $G_m=0.05 \sim 3.0 \text{ kg/cm}^2$ )。

以上の結果をもとに $K_f$ の拘束圧依存性を調べた。この結果は図-6に示すとおりであり、実験Cでは $G_m=0.05 \text{ kg/cm}^2$ 付近を境として直線の傾きが異なっているようである。また、実験AおよびBの直線の傾きは実験Cの $G_m<0.2 \text{ kg/cm}^2$ の結果に近く、特に実験Aでは $K_f$ の値もかなり低い結果となっている。

図-7は各々の実験の $h$ と $h$ との関係を示したものである。実験AおよびBにおいて特にバラッキが大きく、拘束圧別にデータを示すことは困難でありデータに幅をもたせて示した。図より、実験AおよびBの $h$ の値は全体的に高いことがわかる。しかし、実験Cでは逆に非常に低い結果となっている。

4.まとめ：本研究より考察されることと次のとおりである。  
 1). 模型の変形特性を調べるに当り通常用いられている三軸試験機では性能および測定上の限界がある。  
 2). 振動台を用いた実験から $K_f$ および $h$ の測定は可能であると考えられる。  
 3). 低応力下での $K_f$ の拘束圧依存性は通常の結果より低い。なお本研究は部屋騒音による研究の一環である。  
 (参考文献) 1). 関松義(1978), “地震時の砂地盤における間隔水压の上昇と消散”, 第5回日本地震工学シンポジウム。  
 2). Pedro De Alba, C.K.Chan and H.B.Seed (1975), "Determination of Soil Liquefaction Characteristics by Large-Scale Laboratory Tests", EERC 75-14

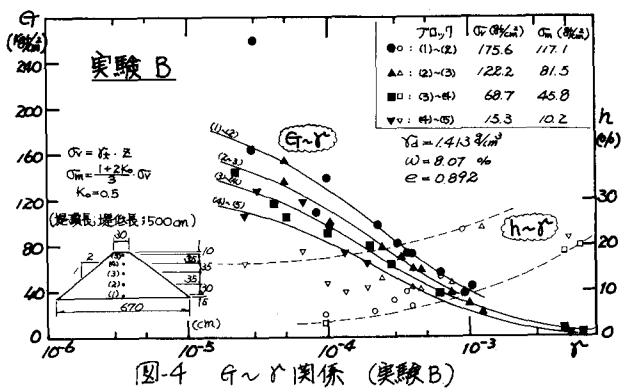


図-4  $G_f$ と $h$ の関係(実験B)

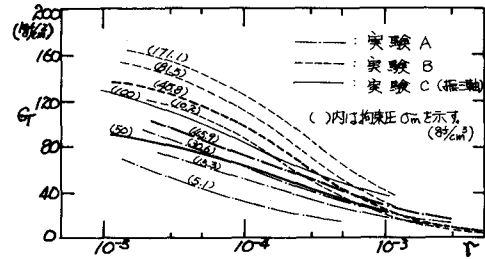


図-5  $G_f$ と $h$ の関係(実験A,B,C)

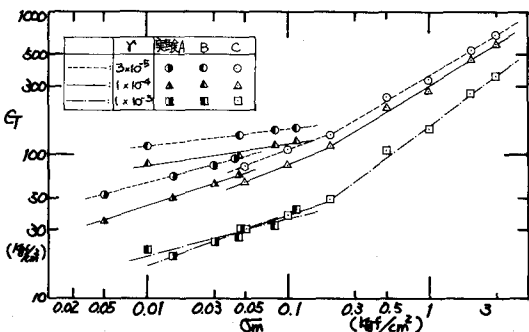


図-6  $G_f$ と $G_m$ の関係(実験A,B,C)

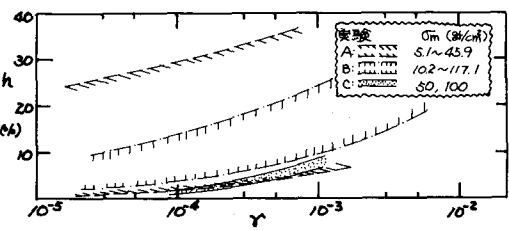


図-7  $h$ と $G_f$ の関係(実験A,B,C)